

I-4 自重を考慮した軟弱粘土の圧密計算と埋立工事への応用

大阪市立大学工学部 正員 三笠正人

筆者は昨年秋に Terzaghi の理論を一般化した一次元圧密理論を発表したが、これもとずいたいくつかの計算結果とその応用について述べる。

1. 新理論のあらまし

一次元圧密に関する Terzaghi の微分方程式は、過剰水圧 ϵ を用いて

$$\frac{\partial u}{\partial t} = C_u \frac{\partial^2 u}{\partial z^2} \quad \dots \dots \dots \quad (1)$$

という熱伝導型のものになつたが、これは透水係数 k 、体積圧縮係数 m_u が圧密過程を通じて一定の場合にだけ正しく成り立つ。ところが軟弱粘土では k 、 m_u は圧密中に大きく変化し、(1)は成り立たない。しかしこのときも、もし $C_u = k/m_u \sigma_0$ が一定であれば圧縮ひずみ ϵ は用いて

$$\frac{\partial \epsilon}{\partial t} = C_u \frac{\partial^2 \epsilon}{\partial z^2} \quad \dots \dots \dots \quad (2)$$

が成り立つことがわかる。 (1) は (2) の特殊なケースとしてこれら包含される。

次に粘土層の厚さの変化を考慮すると (2) は、

$$\frac{\partial S}{\partial t} = C_u \sigma^2 \frac{\partial^2 S}{\partial z^2} \quad \dots \dots \dots \quad (3)$$

と書きえられる。 Z_0 は粘土の密度が一様であるような原始状態における各 element の座標である。 S は次のよろな量で圧密比と名付ける。

$$S = \frac{dz_0}{dz} = \frac{1+e_0}{1+e} \quad \dots \dots \dots \quad (4)$$

次に粘土の自重の影響を考え入れると、方程式は

$$\frac{\partial \epsilon}{\partial t} = C_u \left\{ \frac{\partial^2 \epsilon}{\partial z^2} - \frac{d}{de} (m_u \sigma_b) \frac{\partial \epsilon}{\partial z} \right\} \quad \dots \dots \dots \quad (5)$$

または

$$\frac{\partial S}{\partial t} = C_u \sigma^2 \left\{ \frac{\partial^2 S}{\partial z^2} - \frac{d}{dS} (m_u \sigma_b) \frac{\partial S}{\partial z} \right\} \quad \dots \dots \dots \quad (6)$$

となる。ただし Z_0 、 Z は下向きを正とする。 σ_b は浮力を考へた粘土の単位重量である。 Terzaghi は自重による圧密を (1) 式の初期値問題として扱つたが、実は微分方程式が変わつて (3) ので、その差は後述する非常な大きなものとなる。この (6) 式を大阪港南港の埋立地の改良実験に適用した結果はすでに報告したが、今回はさらに他の場合について圧密過程の計算を行つた結果と、一般的な圧密後の定常状態についてのべ、その埋立工事への応用について触れる二点にする。

2. 自重による沈下計算

a) 初期の状態が $e_0 = 4.8$ 、 $\sigma_0 = 0.0001 \text{ kg/cm}^2$ で、 $C_u = 0.8$ の粘土を 1 度 $\sim 2 \text{ m}$ の厚さで

げ透水層の上のせな場合。このとき透水層の減圧、表面乾燥はなく、圧密体自重だけによつて行われるものとする。

b)上の自重圧密が終つたのち、その上に透水層を介して2mだけ同じ粘土をのせな場合。

c)上の圧密が終つたのち、さらに2mだけ同じ粘土をのせな場合。

以上の3つの場合について(6)を次のよつた差分方程式に直して計算を行つた。

$$\Delta \zeta_{z_0} = 4\pi^2 \cdot \Delta T \cdot \zeta_{z_0}^2 \left\{ \frac{1}{4} (\zeta_{z_0+\Delta z_0} - 2\zeta_{z_0} + \zeta_{z_0-\Delta z_0}) - \frac{\Delta z_0}{8L_s} (\zeta_{z_0-\Delta z_0} - \zeta_{z_0+\Delta z_0}) \right\} \dots \dots \dots \quad (7)$$

$$z > z_0 = \frac{1}{L_s} = -\frac{d}{ds} (m_w r_b) \\ = \frac{1}{P} r_b \left\{ 1 - \frac{0.8686}{1+e} C_c \right\}$$

$$\Delta T = C_a \cdot \Delta t / H_0^2$$

$2H_0$: 初始状態の層厚

$2n$: 層厚の等分数

その結果は図-1、図-2に示す通りで、a)は非常に速く、c)は Terzaghi 理論とあまり変わらない。平均有効圧力の増し方(過剰水压の減り方)は A_p , B_p のようで、だいぶ遅れてく3。

図-2は $C_a = 1.35 \times 10^{-2} \text{ cm}^2/\text{min}$.

として描いた。なお差分計算は a)の場合かかなり厄介であるから差分間隔の異な計算を行つてみ

て充分な
精度を持
つことを
確かめた。

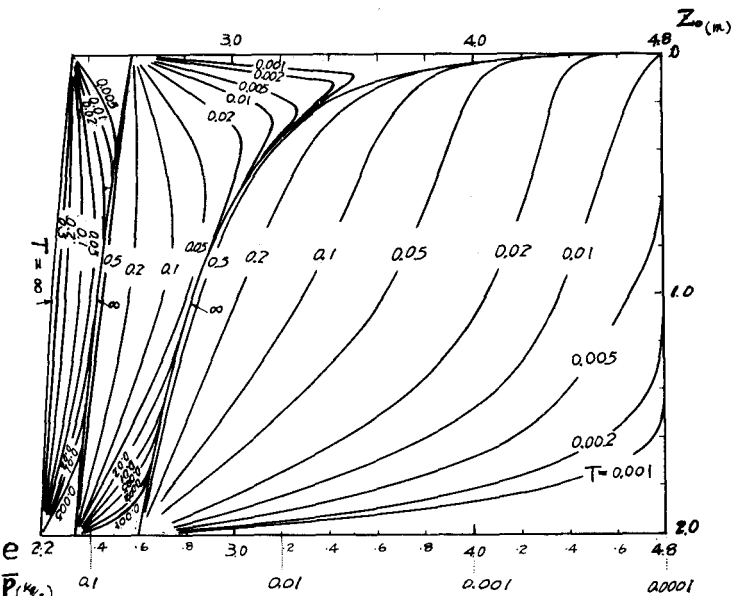
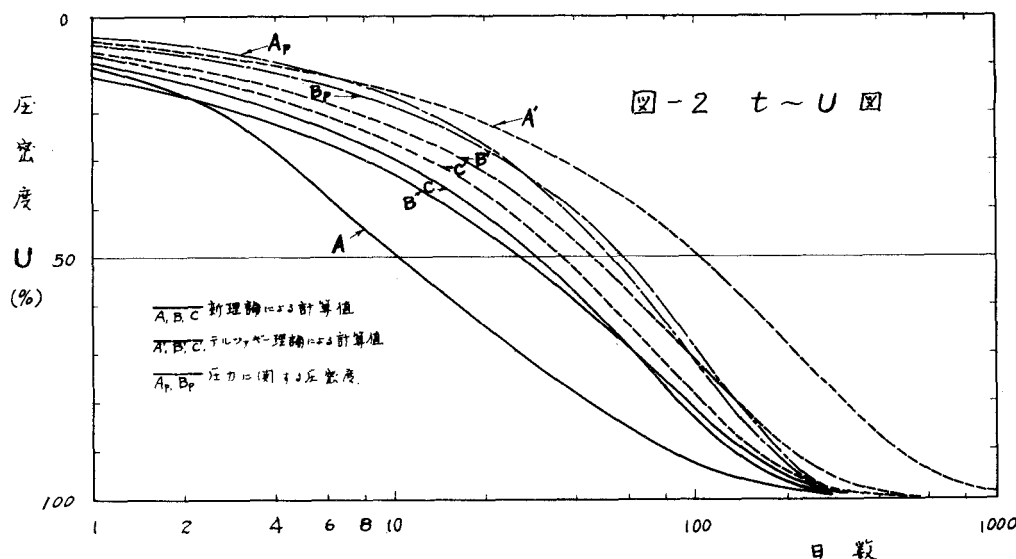


図-1 $z_0 \sim e, P$ 図



3. 壓密終了時の状態について

压密が終ったとき、すなわち定常状態の方程式は

$$\frac{dE}{dz} = m_a \tau_b + \frac{V_o}{C_v} \quad \dots \dots \dots (8)$$

または

$$\frac{ds}{dz} = m_a \tau_b + \frac{V_o}{C_v} \quad \dots \dots \dots (9)$$

となる。ここで V_o は固ガキ水の流速で粘土層中を通過して一定値をとる。 z , z_0 は下向きを正とする。 m_a の V_o/C_v (cm^{-1}) は式(9)の解を数值積分で求め、これを z_0 との関係に直すと図-3, 図-4を得る。

またこの粘土の e ~ p 関係を用いて \bar{p} (有効応力) のスケールを書きこんでおけば \bar{p} もこの図から読み取れる。これに粘土の C_p 値を乗すれば压密後の粘土層内のせん断強度の分布を知ることができる。所で任意の層厚、任意の境界条件に対する压密終了時の状態はこの曲線群の一組としてひき出すことができる。もちろん実際には補間が必要である。

e ~ p の関係の異なる粘土に対しては、また異なる曲線群が描かれるわけだが、大体似たような形をとると考えら化る。

4. 埋立工事への応用

a) 2. のような压密計算を行なうことによりシエンセソ粘土を用いる埋立工事の定量的な計画が可能となる。

b) 粘土層の下あるいは上に砂層をあり、その水位を低下させた場合を促進する工法²⁾を行なう場合も同じように压密計算ができる。特に最終的な压密効果については図-3, 図-4から直ちに読み取ることができる。その際必要な排水ポンプの容量も V_o/C_v の値と压密速度とから計算できる。したがって種々の場合について効果と工費を比較して最適計画を立てることができる。

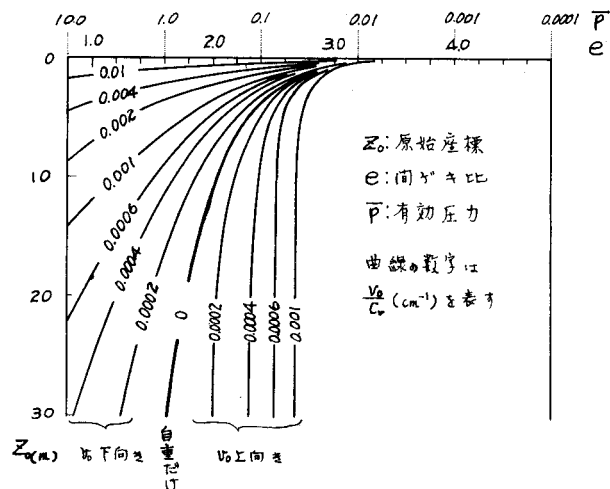


図-3 $Z_0 \sim e, \bar{p}$ 図 (e 加深と共に)

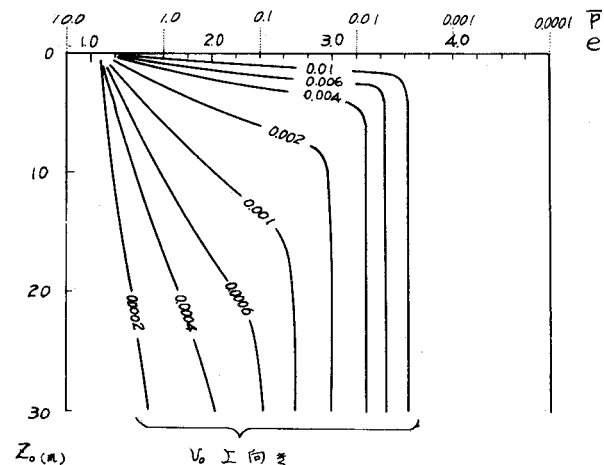


図-4 $Z_0 \sim e, \bar{p}$ 図 (e 加深と共に)

以上の結論は、3つうの圧密試験データを用いた理論計算によるもので、実験との照合
が行なっていなかつて、大阪港の現場実験の場合²⁾比較的よく一致したので大きさ誤りは
ないものと考える。この計算に用ひた仮定として $e - \log_{10} P$ 固体の直線性、 C_u 一定、
レオロジー的要素の無視などがあり、いくらか実際の現象を異つてることは当然予想され
る。しかし $e - \log_{10} P$ が直線でなくとも計算は同じようになります。また C_u が圧密より
変化ときはそれが規則性があれば計算のことは可能性がある。レオロジー的要素は最
も必ずしも。

2.の計算は中山武志君の卒業論文としてやつてもらつたもので、同君の勞へ感謝する。

参考文献

- 1) 三室正人：軟弱粘土の圧密理論、土質工学会昭和35年度秋季講演会講演概要、P.10
- 2) 三室、堤、阿久根、久保：サンドマットによる埋立粘土の圧密改良工法の現場実験、
土と基礎特集号 No. 4 土質安定工法、P.49